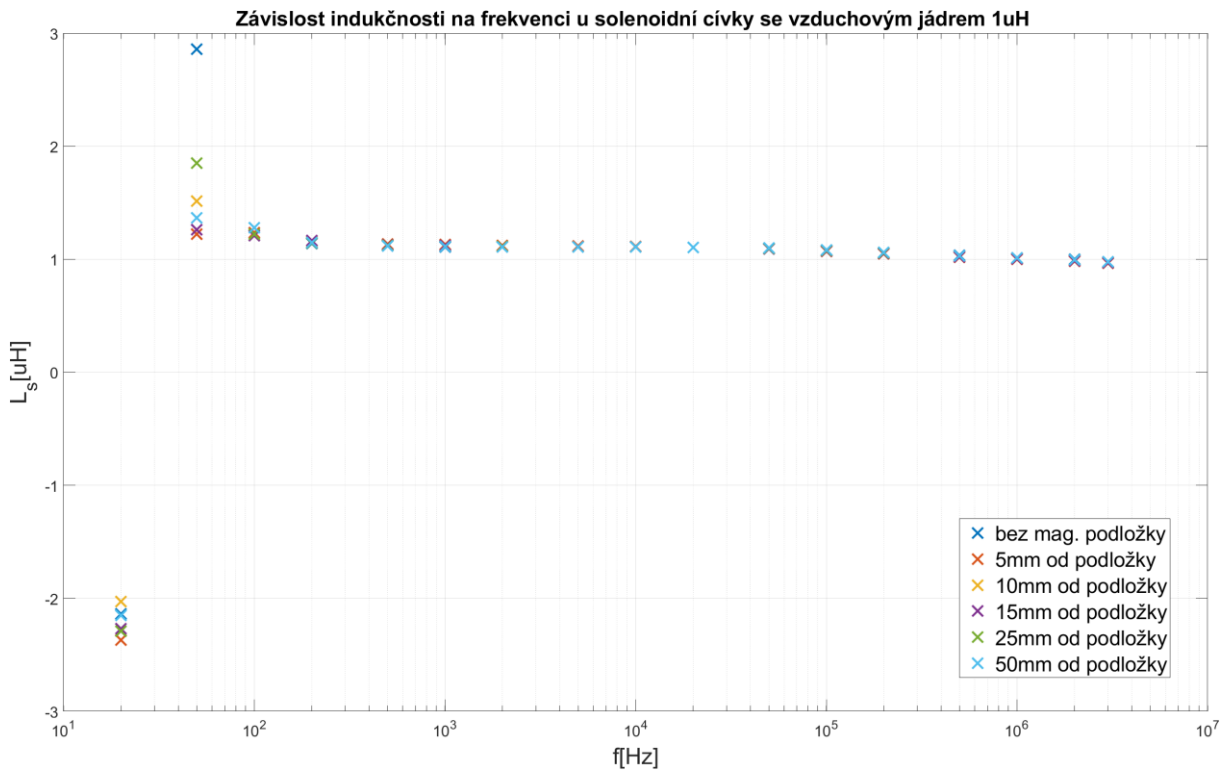
Závislost indukčnosti na frekvenci u solenoidní cívky se vzduchovým jádrem 1uH
L_s[uH]
f[Hz]
bez mag. podložky
5mm od podložky
10mm od podložky
15mm od podložky
25mm od podložky
50mm od podložky

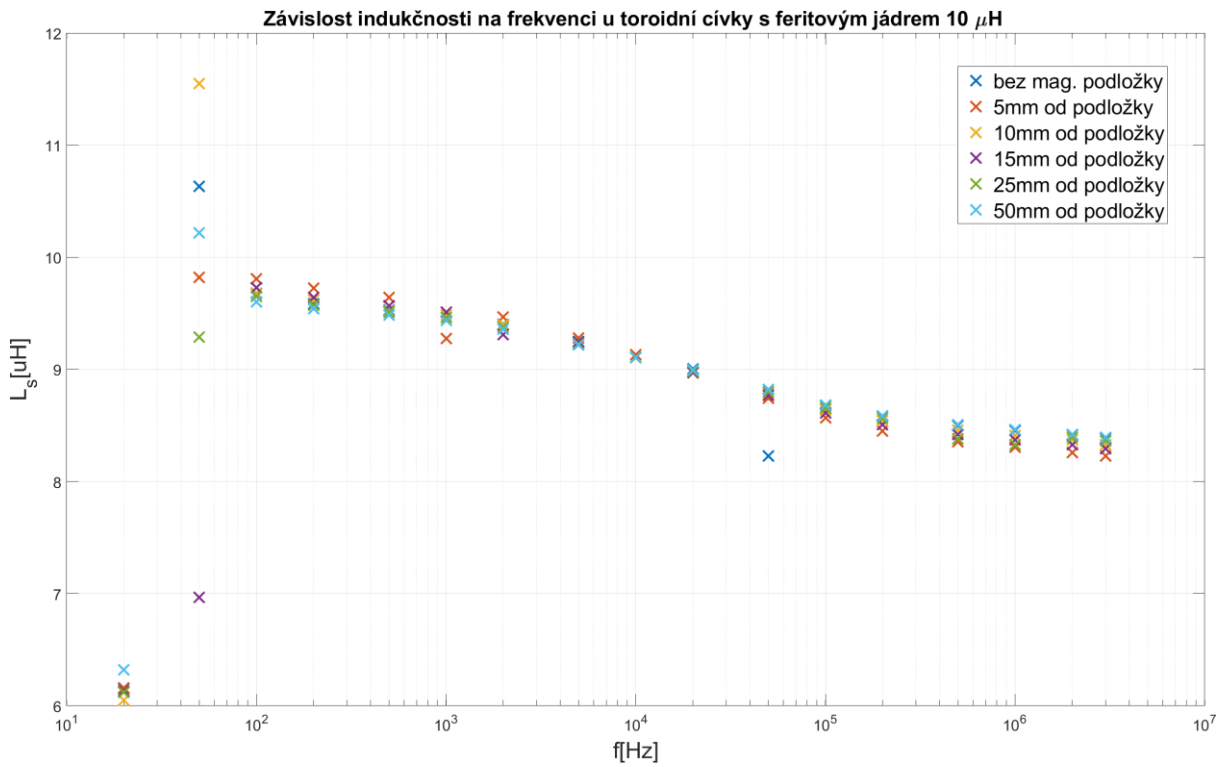
Závislost indukčnosti na frekvenci u toroidní cívky s feritovým jádrem 10 μH
L_s[uH]
f[Hz]
bez mag. podložky
5mm od podložky
10mm od podložky
15mm od podložky
25mm od podložky
50mm od podložky

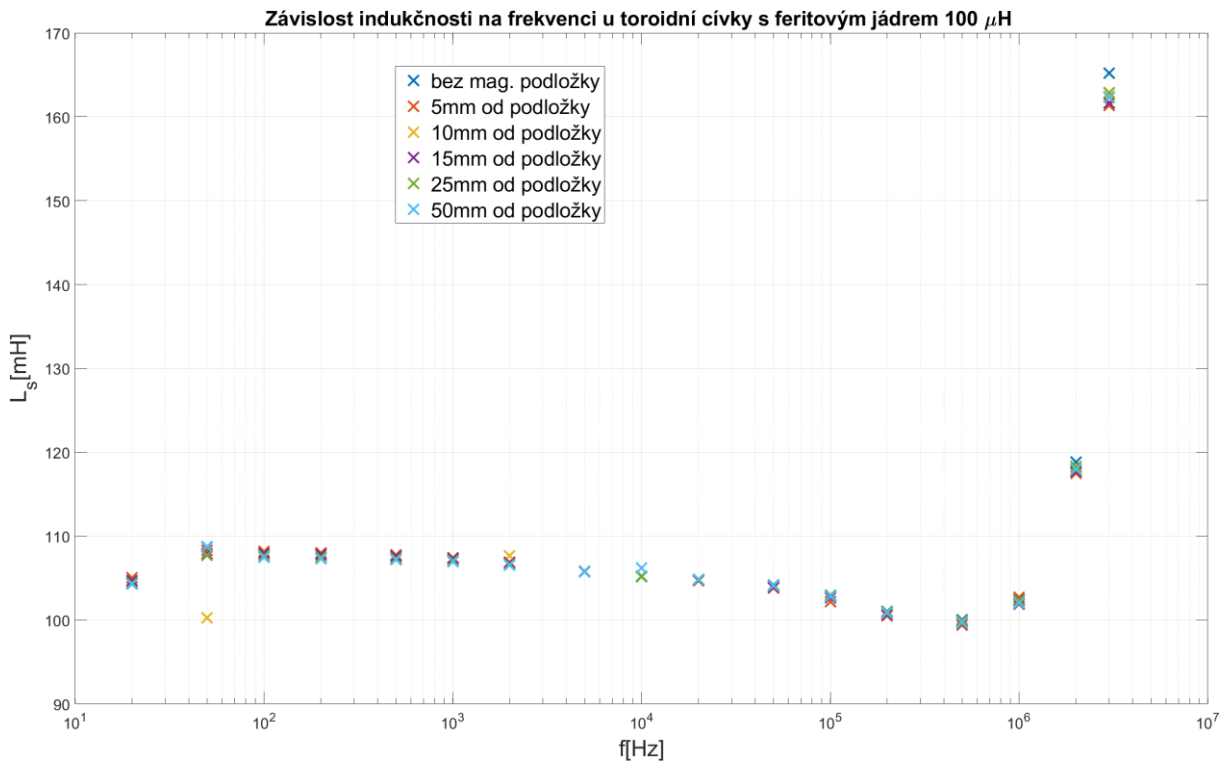
Závislost indukčnosti na frekvenci u toroidní cívky s feritovým jádrem 100 μH
bez mag. podložky
5mm od podložky
10mm od podložky
15mm od podložky
25mm od podložky
50mm od podložky
L_s[mH]
f[Hz]

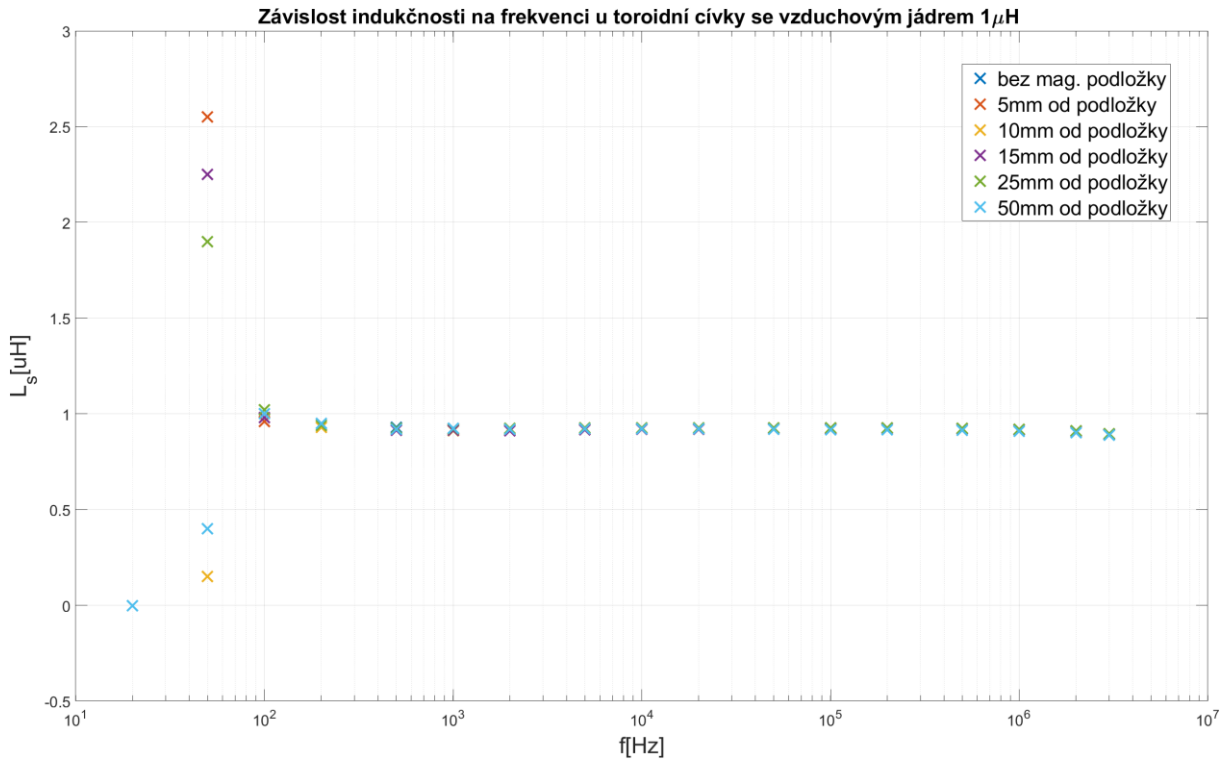
Závislost indukčnosti na frekvenci u toroidní cívky se vzduchovým jádrem 1μH
bez mag. podložky
5mm od podložky
10mm od podložky
15mm od podložky
25mm od podložky
50mm od podložky
L_s[uH]
f[Hz]

Závislost indukčnosti na frekvenci u kalibrační cívky 1 mH
bez mag. podložky
5mm od podložky
10mm od podložky
15mm od podložky
25mm od podložky
50mm od podložky
L_s[uH]
f[Hz]
2000
1500
1000
500
0
-500
10^1
10^2
10^3
10^4
10^5
10^6
10^7

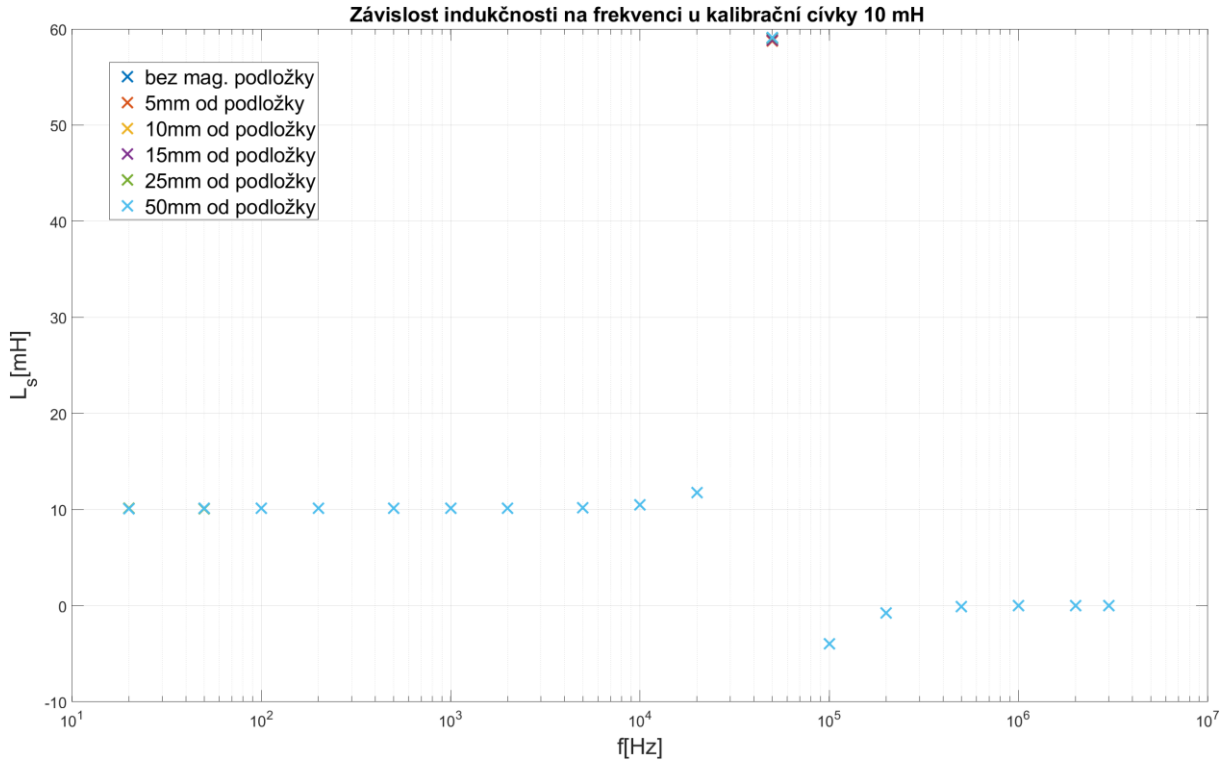
Závislost indukčnosti na frekvenci u kalibrační cívky 10 mH
bez mag. podložky
5mm od podložky
10mm od podložky
15mm od podložky
25mm od podložky
50mm od podložky
L_s[mH]
f[Hz]
60
50
40
30
20
10
0
-10
10^1
10^2
10^3
10^4
10^5
10^6
10^7

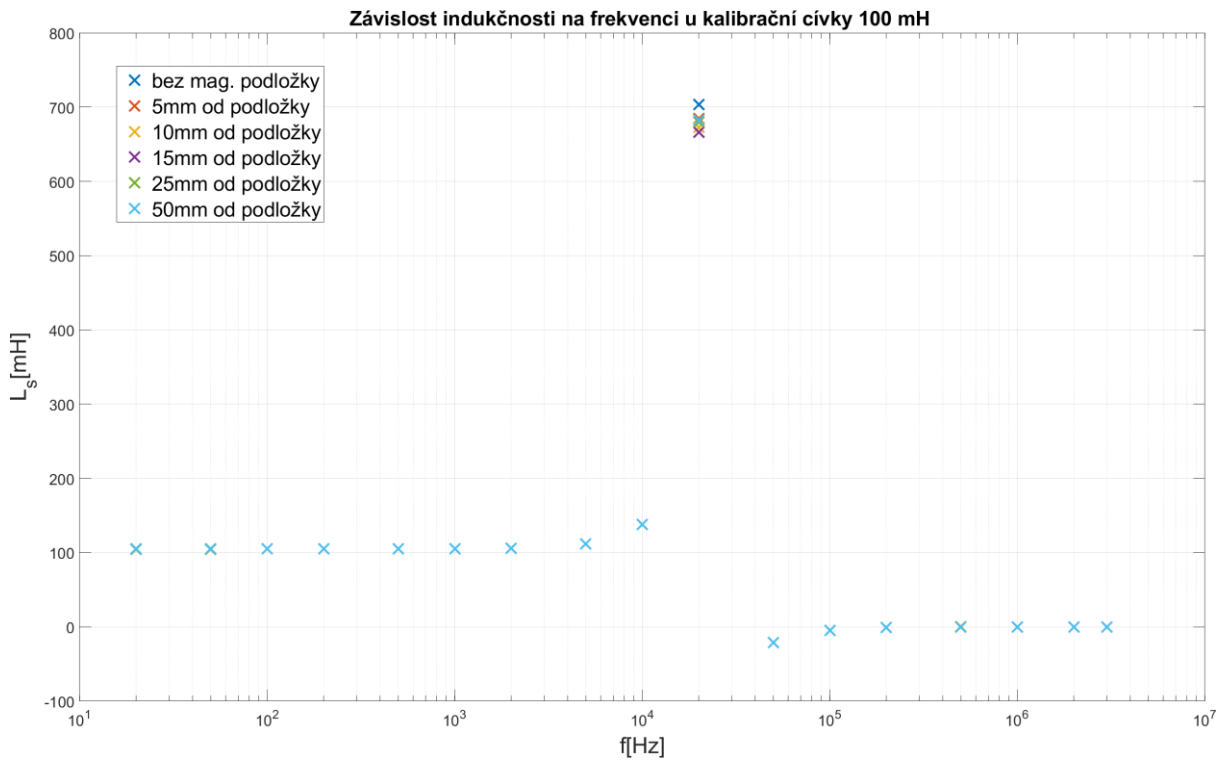
Závislost indukčnosti na frekvenci u kalibrační cívky 100 mH
bez mag. podložky
5mm od podložky
10mm od podložky
15mm od podložky
25mm od podložky
50mm od podložky
L_s[mH]
f[Hz]
800
700
600
500
400
300
200
100
0
-100
10^1
10^2
10^3
10^4
10^5
10^6
10^7